

"Redécouvrons la planète Neptune!"

I-1. Particule dans un champ gravitationnel

— 1. 3<sup>ème</sup> loi de Kepler : "le rapport  $T^2/a^3$  est le même pour toutes les planètes, soignons".

• Ici on a un système isolé de 2 points (ou plutôt 2 astres sphériques...). Dans le référentiel barycentrique, les centres des 2 astres ont des trajectoires circulaires centrées sur le barycentre du système (centre d'inertie). On note  $R$  la distance des centres des 2 astres,  $\vec{v}$  leur

vitesse relative : alors  $\frac{\mu v^2}{R} = G \frac{Mm}{R^2}$  où  $\mu = \frac{Mm}{M+m}$  est la masse réduite du

système ;  $v = \left[ \frac{G(M+m)}{R} \right]^{1/2}$  et  $T = \frac{2\pi R}{v} = \frac{2\pi R^{3/2}}{\sqrt{G(M+m)}}$ .

→ En supposant  $m \ll M$ , le centre de l'astre de masse  $M$  est pratiquement fixe, et

$$C = \frac{T^2}{R^3} = \frac{4\pi^2}{GM}$$

• Si  $M$  désigne la masse  $M_S$  du Soleil, en prenant le cas de la Terre comme référence,

$$C = 1 \text{ (an)}^2 \text{ (UA)}^{-3} \quad (\text{sinon, } C = \frac{M_S}{M} \text{ en } \text{(an)}^2 \text{ (UA)}^{-3})$$

— 2. Alors dans ce système d'unités, la valeur de  $G$  est  $4\pi^2$ .

— 3. Pour Uranus,  $T_U = C^{1/2} (R_U)^{3/2} \approx 84 \text{ ans}$ ,  $\Omega_U = 7,48 \cdot 10^{-2} \text{ rad. an}^{-1}$   
 Pour Neptune,  $T_N = C^{1/2} (R_N)^{3/2} \approx 165 \text{ ans}$ ,  $\Omega_N = 3,81 \cdot 10^{-2} \text{ rad. an}^{-1}$

$$\Omega = \Omega_U - \Omega_N = 3,67 \cdot 10^{-2} \text{ rad. an}^{-1} \text{ qui est bien la valeur donnée dans l'énoncé}$$

$$r = \frac{\Omega_U}{\Omega} = 2,04 \neq 2 \quad (\text{on a presque un cas de "résonance gravitationnelle", cf question 15.)}$$

— 4. (S doit désigner en toute rigueur le centre du Soleil). Alors le référentiel lié au repère  $(S, \vec{e}_x, \vec{e}_y, \vec{e}_z)$  n'est pas (tout à fait) galiléen car  $S$  n'est pas (exactement) le centre d'inertie du système solaire (tant qu'on ne néglige pas  $\frac{m_{\text{Jupiter}}}{M_S}$ ,  $\frac{m_{\text{Saturne}}}{M_S}$ ,  $\frac{m_U}{M_S}$  et  $\frac{m_N}{M_S}$ ).

4.B. : la distance du centre du Soleil au centre d'inertie du système solaire est au plus de 2 rayons solaires (en gros; cas d'une conjonction totale des 4 planètes géantes). Le plus souvent, ce centre d'inertie est à l'intérieur du Soleil... d'où la précision sur la définition du point  $S$ .

- 5. Le théorème de conservation cinétique appliqué aux 3 astres dans le galiléen,

(en omettant l'action des planètes Jupiter et Saturne) s'écrit:

$$\text{pour le Soleil: } M_S \frac{d^2 \vec{r}_S}{dt^2} = -G M_S m_U \frac{\vec{U}_S}{U_S^3} - G M_S m_N \frac{\vec{N}_S}{N_S^3} = -G \frac{M_S m_U}{\|\vec{r}_S - \vec{r}_U\|^3} (\vec{r}_S - \vec{r}_U) - \frac{G M_S m_N}{\|\vec{r}_S - \vec{r}_N\|^3} (\vec{r}_S - \vec{r}_N),$$

$$\text{pour Uranus: } m_U \frac{d^2 \vec{r}_U}{dt^2} = -G M_S m_U \frac{(\vec{r}_U - \vec{r}_S)}{\|\vec{r}_U - \vec{r}_S\|^3} - G \frac{m_U m_N}{\|\vec{r}_U - \vec{r}_N\|^3} (\vec{r}_U - \vec{r}_N),$$

$$\text{pour Neptune: } m_N \frac{d^2 \vec{r}_N}{dt^2} = -G M_S m_N \frac{(\vec{r}_N - \vec{r}_S)}{\|\vec{r}_N - \vec{r}_S\|^3} - G \frac{m_N m_U}{\|\vec{r}_N - \vec{r}_U\|^3} (\vec{r}_N - \vec{r}_U).$$

$$- 6. \quad \frac{d^2 \vec{p}_U}{dt^2} = \frac{d^2 \vec{r}_U}{dt^2} - \frac{d^2 \vec{r}_S}{dt^2} = -G M_S \frac{\vec{p}_U}{p_U^3} - G m_N \frac{(\vec{p}_U - \vec{p}_N)}{\|\vec{p}_U - \vec{p}_N\|^3} - G m_U \frac{\vec{p}_U}{p_U^3} - G m_N \frac{\vec{p}_N}{p_N^3}$$

$$\text{soit } \boxed{\frac{d^2 \vec{p}_U}{dt^2} = -G (M_S + m_U) \frac{\vec{p}_U}{p_U^3} + \vec{f}}.$$

- 7. Le mouvement non perturbé est circulaire uniforme de centre S, de rayon  $R_u$

et de vitesse angulaire  $\omega_u$ ; on a donc  $\omega_u^2 = \frac{G(M_S + m_U)}{R_u^3} \approx \frac{G M_S}{R_u^3}$ . (cf 1.)

## I.2. Perturbation d'une orbite képlérienne

- 8. Orbite de classe I circulaire:  $a^3 \omega^2 = \text{cte} \Rightarrow 3 \frac{\Delta a}{a} + 2 \frac{\Delta \omega}{\omega}$  (en considérant variations et différentielles) soit  $\frac{\Delta \omega}{\omega} = -\frac{3}{2} \frac{\Delta a}{a}$  ou  $\dot{v} = -\frac{3}{2} \omega \Delta a$  (=cte).

- 9. Orbite de classe II,  $a = R$ ,  $e \neq 0$ ;  $a = R$  ne change pas donc  $T$  ne change pas.

$$\bullet \quad p^2 \dot{\phi} = (R+u)^2 (\omega + \frac{\dot{v}}{R}) = R^2 \omega \left(1 + \frac{u}{R}\right)^2 \left(1 + \frac{\dot{v}}{R\omega}\right) = \text{cte}$$

$$\text{en linéarisant } \left(1 + \frac{2u}{R} + \frac{\dot{v}}{R\omega}\right) = \text{cte} \text{ donc } \boxed{\dot{v} + 2\omega u = \text{cte}}$$

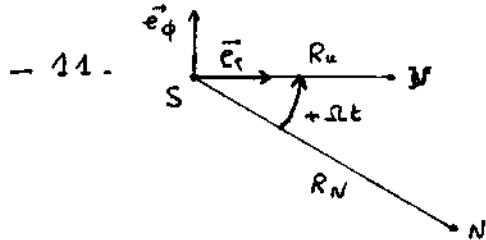
→ Pour affirmer que  $\dot{v} + 2\omega u = 0$ , il faut supposer que la constante des aires est la même que pour le mouvement non perturbé (soit  $R^2 \omega$ ); on peut choisir le mouvement non perturbé de telle sorte qu'il en soit ainsi, mais ce n'est plus compatible avec  $a = R$  et  $e \neq 0$  car alors  $p = a(1-e^2) = R \dots$  Si l'on choisit  $p = R$ ,  $a$  et  $T$  sont modifiés qu'on s'approche en  $\Delta e$ . (voir questions 13.)

II Etude du "problème direct"

II.1. Perturbations au plus bas ordre

- 10.  $\vec{f}$  est un terme correctif: on peut donc l'évaluer dans un premier temps avec les valeurs "non perturbées" de  $\vec{p}_U$  et  $\vec{p}_N$  (méthode d'itération).

Il faudra vérifier que  $\|\vec{f}\| \ll \frac{GM_S}{R_u^2} \approx \Omega_u^2 R_u$ .



$(\Omega = \Omega_U - \Omega_N)$

$\vec{p}_N^{(0)} = R_N \cos \Omega t \vec{e}_r - R_N \sin \Omega t \vec{e}_\phi$

Alors  $\vec{f} = G M_N \left\{ \frac{(R_N \cos \Omega t - R_u) \vec{e}_r - R_N \sin \Omega t \vec{e}_\phi}{[(R_N \cos \Omega t - R_u)^2 + R_N^2 \sin^2 \Omega t]^{3/2}} - \frac{(\cos \Omega t \vec{e}_r - \sin \Omega t \vec{e}_\phi)}{R_u^2} \right\}$

En posant  $\epsilon = \frac{G M_N}{R_u^2}$  et  $k = \frac{R_u}{R_N}$ , il vient effectivement:

$$\left\{ \begin{aligned} f_r &= \epsilon \left\{ \frac{(\cos \Omega t - k)}{[1 - 2k \cos \Omega t + k^2]^{3/2}} - \cos \Omega t \right\} \\ f_\phi &= \epsilon \left\{ \frac{-\sin \Omega t}{[1 - 2k \cos \Omega t + k^2]^{3/2}} + \sin \Omega t \right\} \end{aligned} \right.$$

→ Numériquement, on trouve bien  $k = 0,638$  et  $\epsilon = 4\pi^2 \frac{(5,178 \cdot 10^{-5})}{(30,08)^2} = 2,26 \cdot 10^{-6} \text{ UA} \cdot (\text{an})^{-2}$ .

- 12. Le graphique de la fig 3 montre que  $\|\vec{f}\|$  n'ex cède pas  $\frac{1}{2} \epsilon \approx 1,5 \cdot 10^{-5} \text{ UA} \cdot (\text{an})^{-2}$

Or  $\frac{GM_S}{R_u^2} = \frac{4\pi^2}{(19,19)^2} \approx 0,107 \text{ UA} \cdot (\text{an})^{-2}$ : l'approximation qui omet à considérer

que  $\vec{f}$  est un terme perturbatif est valide.

- 13. On revient à l'équation de la question 5:  $\frac{d^2 \vec{p}_u}{dt^2} + G \frac{(M_S + m_u)}{\|\vec{p}_u\|^3} \vec{p}_u \approx \vec{f}^{(0)}$ .

• En utilisant les coordonnées polaires  $p_u(t)$  et  $\phi(t)$ :

$$\begin{aligned} \frac{d^2 \vec{p}_u}{dt^2} &= (\ddot{p}_u - p_u \dot{\phi}^2) \vec{e}_r + (2\dot{p}_u \dot{\phi} + p_u \ddot{\phi}) \vec{e}_\phi \\ &= \left[ \ddot{u} - (p_u^{(0)} + u) \left( \Omega_u + \frac{\dot{v}}{R_u} \right)^2 \right] \vec{e}_r + \left[ 2\dot{u} \left( \Omega_u + \frac{\dot{v}}{R_u} \right) + (p_u^{(0)} + u) \frac{\ddot{v}}{R_u} \right] \vec{e}_\phi \\ &\approx \left[ \ddot{u} - p_u^{(0)} \Omega_u^2 - u \Omega_u^2 - 2p_u^{(0)} \Omega_u \frac{\dot{v}}{R_u} \right] \vec{e}_r + \left[ 2\dot{u} \Omega_u + p_u^{(0)} \frac{\ddot{v}}{R_u} \right] \vec{e}_\phi \end{aligned}$$

en éliminant par rapport à  $u, v$  et leurs dérivés.

- 13 (suite):

Par ailleurs, 
$$\frac{G(M_s+m_u)}{\rho_u^3} \vec{p}_u = \frac{G(M_s+m_u)}{[\rho_u^{(0)}+u]^2} \vec{e}_p \approx \frac{G(M_s+m_u)}{(\rho_u^{(0)})^2} \left(1 - \frac{2u}{\rho_u^{(0)}}\right) \vec{e}_p$$

D'où 
$$\underbrace{\left[ \frac{G(M_s+m_u)}{\rho_u^{(0)2}} - \rho_u^{(0)} \Omega_u^2 \right]}_{0 \text{ par hypothèse}} \ddot{u} - 2u^2 \ddot{u} - 2\rho_u^{(0)} \Omega_u \dot{v} - 2 \frac{G(M_s+m_u)}{\rho_u^{(0)2}} u = \varepsilon F_p$$

et 
$$2\Omega_u \dot{u} + \rho_u^{(0)} \ddot{v} = \varepsilon F_p.$$

En assimilant  $\rho_u^{(0)}$  à  $R_u$  dans les termes en  $\dot{v}$  et  $\ddot{v}$ , il vient effectivement:

$$\boxed{\begin{cases} \ddot{u} - 3\Omega_u^2 u(t) - 2\Omega_u \dot{v} = \varepsilon F_p \\ 2\Omega_u \dot{u} + \ddot{v} = \varepsilon F_p \end{cases}} \quad [C-13]$$

II. 2. Etude de la solution forcée

- 14. •  $F_p(t)$  et  $F_v(t)$  sont manifestement périodiques de période  $\frac{2\pi}{\Omega}$  et "réguliers" ( $k < 1$ ); de plus,  $F_p(t)$  est pair et  $F_v(t)$  impair, ce qui justifie le développement en série de cosinus et de sinus respectivement.

• Le système [C-13] est linéaire, ce qui justifie que  $u(t)$  et  $v(t)$  sont également développables en série de Fourier, avec les mêmes pulsations  $n\Omega$  (superposés). Tant qu'on s'en tient au régime forcé, il en est de même pour  $v(t)$ .

• La réversibilité du mouvement du système fait que si l'on change  $t$  en  $-t$ ,  $\rho_u(t)$  ne change pas, et  $\phi(t)$  est changé en  $-\phi(t)$ : alors  $\left. \begin{matrix} u(t) \text{ est pair} \rightarrow \text{série de cosinus} \\ v(t) \text{ est impair} \rightarrow \text{série de sinus} \end{matrix} \right\}$  ( $\dot{u}(t)$  est impair,  $\ddot{u}(t)$  est pair,  $\dot{v}(t)$  est pair,  $\ddot{v}(t)$  est impair, ce qui est compatible avec les équations [C-13])

- 15. En utilisant le fait que la valeur moyenne des dérivés d'une fonction périodique est nulle, il vient  $-3\Omega_u^2 \varepsilon u_0 = \varepsilon \langle F_p \rangle = \varepsilon a_0$  d'où  $u_0 = -\frac{a_0}{3\Omega_u^2}$

On a vu à la question 3 que  $2\Omega$  est proche de  $\Omega_u$ : on a une quasi-résonance pour  $n=2$ , ce qui fait que les coefficients  $|u_2|$  et  $|v_2|$  sont nettement plus grands que les autres ( $1u_0$  incluse).

D'où l'approximation:

$$\begin{cases} u(t) \approx \varepsilon u_0 + \varepsilon u_2 \cos(2\Omega t) \\ v(t) \approx \varepsilon v_2 \sin(2\Omega t) \end{cases}$$

-16. Donc  $\Delta\phi_N(t) \approx \frac{E\gamma_2}{R_u} \sin(2\Omega t) = -\gamma \sin(2\Omega t)$

Arc  $\gamma = \frac{-E}{R_u} \left\{ \frac{-4\Omega_u \Omega a_2 + (3\Omega_u^2 + 4\Omega^2)b_2}{4\Omega^2(\Omega_u^2 - 4\Omega^2)} \right\} = \frac{2,25 \cdot 10^{-6}}{(19,19)} \cdot 3,8 \cdot 10^4 = 4,5 \cdot 10^{-3} \text{ radian}$

soit  $\gamma \approx 15' \approx 900''$ , on obtient une valeur compatible avec la trajectoire du graph de la fig. 4 (le valeur de  $\gamma$  est donné à la question 25...)

### II-3. Étude de la solution complète : solutions du système homogène

-17. En reportant  $\dot{v} = 2\Omega_u(A-u)$  dans la première équation, on obtient :

$$u'' + \Omega_u^2 u = 4\Omega_u^2 A \quad \text{d'où} \quad u = 4A + \alpha \sin(\Omega_u t) + \beta \cos(\Omega_u t), \text{ puis}$$

$$\dot{v} = 2\Omega_u(A-u) = -5\Omega_u A - 2\Omega_u \alpha \cos(\Omega_u t) - 2\Omega_u \beta \sin(\Omega_u t),$$

et par intégration,  $v(t) = -5A\Omega_u t + 2\alpha \cos(\Omega_u t) - 2\beta \sin(\Omega_u t) + B$ .

### II.4. Retour sur les lois de Kepler

-18. La solution de fréquence nulle correspond à une position  $u^{(0)}$  constante et on trouve bien  $\dot{v}^{(0)} = -\frac{3}{2}\Omega_u u^{(0)} = -\frac{3}{2}\Omega_u \Delta R_u$  : c'est bien le résultat de la question 8.

-19.  $\alpha = \frac{p_{u \min} + p_{u \max}}{2} \approx R_u$  (à l'approximation linéaire) :  $\alpha$  n'est pas chargé,

T non plus (à l'approximation linéaire...), donc  $p_u$  oscille avec 6 périodes  $\Omega_u$ .

-20.  $A=0$  dans ce cas et on retrouve bien le résultat de la question 9 :  $\dot{v}^{(1)} = -2\Omega_u u^{(1)}(t)$ .

### II.6. Considérations numériques

-21. Les petites variations de  $p_u(t)$  ne sont pas visibles à elles-mêmes, en revanche,  $\phi - \Omega_u t$  peut être déduit de mesure de directions apparente depuis la Terre.

-22. En utilisant l'estimateur gaussien, on tient compte des  $M$  mesures

$$\text{On minimise } D_M^2 \text{ par rapport aux coefficients } \beta_i \quad \left( \frac{\partial D_M^2}{\partial \beta_i} = 0 \text{ en particulier} \right).$$

On observe sur la fig 5 un bon accord entre l'ajustement et les points expérimentaux pour les années allant de 1700 à 1840. L'ordre de grandeur du domaine d'oscillation de  $\Delta\phi_u(t)$  est de l'ordre de  $200''$  d'arc, nettement  $\ll \gamma$ .

-23 (bâtiments)  $\Omega_b = \Omega_u - 2\Omega = 0,14 \cdot 10^{-2} (\text{an})^{-1}$ , donne  $T_b = \frac{2\pi}{\Omega_b} \approx 4500 \text{ ans}$

valeur compatible avec la fig. 6. Comme les mesures sur la trajectoire d'Uranus ont eu lieu pendant une durée  $\ll T_b$ , il est illusoire de distinguer  $\Omega_u$  et  $2\Omega_u$ . (et en plus les données correspondent au voisinage d'un minimum d'amplitude d'oscillation !)

III Esquisse du problème inverse

- 24.  $p^2 \dot{\phi} = R_u^2 \Omega_u \Rightarrow p = R_u$  et  $a = \frac{R_u}{1-e^2}$  ; au premier ordre en  $e$ ,  
 on connaît  $p$ ,  $a$  et  $R_u$ . Alors  $\dot{\phi} \approx \frac{\Omega_u}{(1-e \cos \phi)^2} \approx \Omega_u (1 + 2e \cos \Omega_u t)$   
 $\phi(t) \approx \Omega_u t + 2e \sin(\Omega_u t)$
- 25. Tant que l'on ne peut pas distinguer  $2\Omega$  et  $\Omega_u$ , la correction due à Neptune est la même que celle qui correspondrait à une modification de l'excentricité (en l'absence d'ambi-planète).
- 26. Compte tenu de la valeur de  $\gamma$ , il faut que l'excentricité d'Uranus soit déterminée à mieux que  $10^{-3}$  près... (pour Uranus,  $e = 0,047$ ).
- 27. Le seul paramètre qui n'ait ni été linéarisé dans  $\Delta \phi_N(t)$  et qui provient de Neptune est  $\gamma$ ... Connaissant  $\gamma$ , on accède à  $\epsilon = \frac{G M_N}{R_N^2}$  (cf 15.) ;  $\Omega_N = \Omega_u - \Omega$  permet de connaître  $R_N$ , d'où  $M_N$ .
- 28. Si l'on remplace  $\Omega_N t$  par  $\Omega_N t' = \Omega_N t + \pi$ ,  $\sin(2\Omega t) = \sin[2(\Omega_u - \Omega_N)t]$  est inchangé... Il faudrait alors envisager le rôle de l'harmonique de rang 3 et du fondamental dans le développement de Fourier de  $v(t)$ , mais ils sont beaucoup plus faibles...